

運輸省第三港湾建設局 正会員 天島 道夫

1 はじめに

波浪観測記録の蓄積がなされ、一方で電算を使って波浪推算が可能となり、これらデータを使って確率波高を求め、これを港湾・海岸構造物の設計波高として用いる例が多くなっている。しかし、30年、50年という長い再現期間の確率波高を推定するためには、まだ観測期間は短く、かつ推定値の精度も不明になります。本論は、年最大波高Wは、平均N回発生する気象じょう状時の大波高区の平均的最大値であることを利用し、観測記録からこの確率分布型を求め、この結果からWの確率分布型を推定し、再現期間7年の確率波高を推定する方法を提案するものである。

2 年最大波高Wと平均N回発生する気象じょう状時の最大波高区の関係

確率変数Xの累積分布関数 $F_X(x)$ を有するとき、N個のXからの最大値Y、万能分布 $Y = \max[X_1, X_2, \dots, X_N]$ の $F_Y(y)$ は、 X_1, X_2, \dots, X_N が独立の場合、(1)式で与えられる。
(1)式一分布を呼ぶ

$$F_Y(y) = \{F_X(y)\}^N \quad \cdots \cdots (1)$$

次に示すタイガーベルト値分布(Gumbel分布)は、Xが $F_X(x) = 1 - e^{-\alpha(x-\mu)}$ の分布型を持ち、Nが大きいときには、一般式(1)の近似式として求められたものである。

$$F_W(w) = \exp[-e^{\lambda(w-\mu)}] \quad -\infty < w < \infty \quad (2)$$

$$f_W(w) = \lambda \exp[-\lambda(w-\mu) - e^{\lambda(w-\mu)}] \quad (2)$$

$$= \lambda \text{ 平均 } M_w = \mu + \frac{0.571}{\lambda}, \text{ 分散 } D_w^2 = \left(\frac{0.571}{\lambda}\right)^2$$

そして、 $\mu(x) = \lambda(x-H_0)$ 、万能分布Xが指數分布をするととき、確率変数Wの分布型は $\lambda x - \lambda \ln(\lambda x + 1)$ である。確率変数Wの分布型は $\lambda x - \lambda \ln(\lambda x + 1)$ である。

$$\lambda = \mu, \quad \mu = H_0 + \frac{\ln(N)}{\lambda} \quad \cdots \cdots (3)$$

年最大波高Wの分布型は未知であるが、(2)式に示すGumbel分布を用いてして推定する。するとともに、平均N回発生する気象じょう状時の最大波高区(波高H₀以上)は、次の分布型を持つことが導かれる。

$$F_Z(z) = 1 - e^{-\lambda(z-H_0)} \quad z \geq H_0 \quad \{ \quad \cdots \cdots (4)$$

$$f_Z(z) = \lambda e^{-\lambda(z-H_0)} \quad z \geq H_0 \quad \{ \quad \cdots \cdots (4)$$

$$= \lambda, \quad \lambda = \alpha, \quad H_0 = \mu - \frac{\ln(N)}{\alpha}$$

気象じょう状時の最大波高として、(4)の分布型を持つ確率変数の実現値と、波浪観測の結果として入手する二つとなる。年平均回数Nは、実際には年にちて異なる確率変数であるが、以下これを単純化し、Nを定数とするとして扱う。

3 2ヶ年観測値による年最大波高Wの分布型の推定

本論は提案する確率波高の推定は、(4)式の分布型を持つ確率変数との年間の実現値を用いて、次の手順を行う。

a) オーに、長年間、年平均N回の気象じょう状時の最大波高(H₀以上)の観測値を用いて、(4)式で示されたZの分布型を推定する。

b) 次に、(3)式を使い、(4)式から年最大波高Wの分布型(2)式を推定する。

c) (2)式の分布型から、七年の再現期間を有する確率波高W_fを求める。

Nx枚個々のZの観測値の平均値M = $\frac{1}{N} \sum Z_i$ (i=1 ~ N) は、平均 $M_w = M_z$ 、分散 $D_M^2 = \frac{1}{N} D_z^2$ の確率変数である。(4)式のパラメータは、 $\lambda = \frac{1}{M - H_0}$ となる。次に、(3)式を用いて、(2)式のGumbel分布のパラメータは、 $\lambda' = \lambda, \mu' = H_0 + \frac{\ln(N)}{\lambda}$ と推定される。以上の結果、年最大波高Wの累積分布関数は、

$$F_w(w) = \exp[-\exp\{-\lambda'(w-H_0) + \ln(n)\}] = \exp[-\exp\{-\frac{1}{M-H_0}(w-H_0) + \ln(n)\}] \quad (5)$$

となる。上式を用いて、再現期間7年の確率波高W_fは、 $F_w(w_f) = \frac{t-1}{t}$ ($t = 7$)を解き、次式で与えられる。

$$w_f = (M - H_0) [\ln(n) - \ln\{-\ln(\frac{t-1}{t})\}] + H_0 \quad \cdots \cdots (6)$$

$$M_w = M_z = \frac{1}{N} + H_0 \text{ であるから}, w_f \text{ の期待値は},$$

$$E(w_f) = [E(M) - H_0] [\ln(n) - \ln\{-\ln(\frac{t-1}{t})\}] + H_0 = \mu - \frac{1}{\lambda} \ln\{-\ln(\frac{t-1}{t})\} = w_t \quad \cdots \cdots (7)$$

である。また、 w_f の分散は、次式となる。

$$\text{Var}(w_f) = [\ln(n) - \ln\{-\ln(\frac{t-1}{t})\}]^2 D_M^2 = \frac{1}{N} [\ln(n) - \ln\{-\ln(\frac{t-1}{t})\}]^2 D_z^2$$

$$= \frac{1}{nB^2} [\ln(n) - \ln\{-\ln(\frac{t-1}{t})\}]^2 (\frac{1}{\lambda})^2$$

$$= \frac{1}{nB^2} [\ln(n) - \ln\{-\ln(\frac{t-1}{t})\}]^2 (\frac{\lambda}{n})^2 \sigma_w^2 \quad (8)$$

実際には、 σ_w^2 や入の真値は未知数であるが、入の推定値 \bar{x} を用いて、 $\text{var}(W_t')$ の概略値が得られる。 (8) 式から明らかのように、 Bx_n の値が大きいほど W_t' の分散は小さくなるので、 \bar{x} が指數分布を有するという前提が満たす範囲内では H_0 を小さくとり、毎年の気象じようれいの数を大きくすれば、 W_t' の推定精度が向上する。同様に、 \bar{x} が小さいほど、 W_t' の分散は小さくなる。また、中心極限定理から H_0 は正規分布に近似される。 (8) 式は示されるように、 W_t' がまた正規分布に近似する。

以上のように、本論文で提案した方法によると、期待値が真値に等しく、 (8) 式の分散を持つ正規分布として、再現期毎年の大震災最高を推定できることがわかる。

4. 觀測データによる検証

図-1は、東洋の11年間の観測データから、 \bar{x} の頻度分布をつくり、觀測値の平均値=1/11として求めた \bar{x} の指數分布と比較したものである。データ数は、 $H_0 \geq 2.5m$ の場合120個、 $H_0 \geq 3.0m$ は59個である。この比較から、年毎に発生する気象じようれいが時の大震災最高 $Z(H_0)$ が、指數分布であるという前提が妥当であると判断される。

図-2は、 \bar{x} の分布型を図-1に示した $J_{\bar{x}}(z) = 1.41 \times e^{-1.41(z-2.5)}$ ($z \geq 2.5m$)、 $n = 120/11 = 11$ とした場合について、年最大震高 W の分布型を(1)式の一般式と、二点近似式である(2)のGumbel分布によって求め、両者を比較したものである。二点式は \bar{x} の分布型は(9)式で、Gumbel分布は(10)式で与えられる。

$$(F_w(u)) = \int F_z(w) \cdot n = 1 - e^{-1.41((w-2.5)/11)} \quad (9)$$

$$(J_w(u)) = \frac{d}{dw} F_w(w) = n \{ F_z(w) \}^{n-1} \cdot J_z(w) \quad w \geq 2.5m$$

$$= 11 \times 1 - e^{-1.41((w-2.5)/11)} \times 1.41 e^{-1.41((w-2.5)/11)} \quad (9)$$

$$(F_w(w)) = \exp[-e^{-1.41(w-4.2)}] \quad -\infty \leq w \leq \infty$$

$$(J_w(w)) = 1.41 \exp[-1.41(w-4.2) - e^{-1.41(w-4.2)}] \quad (10)$$

2点分布型で、特に確率震高を求めるところ $w \geq 5.5m$ ($F_w(5.5) = 0.85$) の範囲でよく一致しており、Gumbel分布は \bar{x} の分布型と非常によく一致している。

次に図-3は、 $n = 11$ 、 $\bar{x} = 5$ 年、 $H_0 \geq 2.5m$ の場合について、モンテカルロ法によると、 $J_{\bar{x}}(z) = 1.41 e^{-1.41(z-2.5)}$ の分布型から、 \bar{x} の觀測値のサンプル5年毎分を100ケースつくり、二点式の100ケースから求められた再現期毎50年に確率震高の頻度分布と、(10)式から求められる正規分布型とを比較する。

比較いたぐりである。

5 今後の課題

W がGumbel分布 v 、 \bar{x} が指數分布を有することを前提とすれば、図-3を作成したのと同じ方法によって、従来用いられてる極値確率列法と本論文提案した方法とを比較することができる。今後、両手法の精度の比較を行うとともに、両者の適用範囲について、検討してみたい。

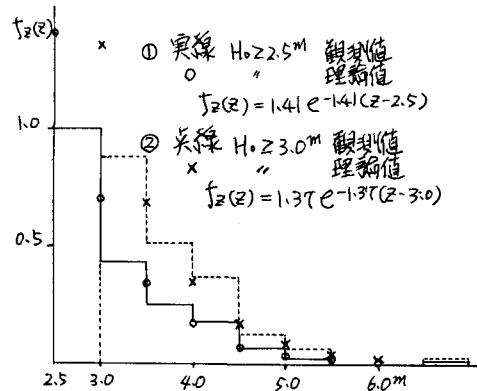


図-1 \bar{x} の分布型(気象じようれい時最大震高)

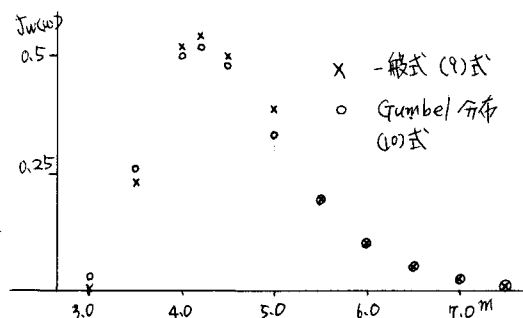


図-2 W の分布型(年最大震高)

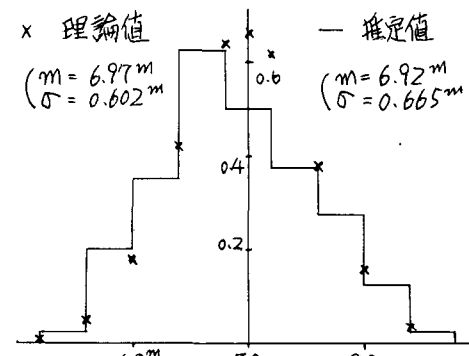


図-3 50年確率震高の推定値(W_{50})の分布